眼镜蛇毒细胞毒素缓释微球制备及体外性质研究

陈志 $\mathbf{\hat{x}}^1$,林礼 $\mathbf{\hat{y}}^1$,林 琦 $\mathbf{\hat{y}}^2$,庄权权 $\mathbf{\hat{y}}^3$,何以 $\mathbf{\hat{y}}^1$,薛恩生 $\mathbf{\hat{y}}^1$

(福建医科大学 1. 附属协和医院 超声科, 2. 医药生物工程中心, 3. 蛇毒研究所, 福建 福州 3500041)

摘 要:目的 研究眼镜蛇毒细胞毒素 (Cytotoxin, CTX) 聚乳酸/羟基乙酸缓释微球的制备方法,考察其一般性质、体外释药特性及生物学活性。方法 采用色谱方法纯化眼镜蛇 CTX,MTT 方法检测细胞毒活性,复乳-溶剂挥发法制备载药微球,考察微球表面形态、粒径、包封率、载药率、体外释药行为及释放眼镜蛇 CTX 细胞毒活性。结果纯化眼镜蛇 CTX 具有明显的细胞毒作用,对肝癌 Hep $\mathbb C$ 细胞 12,24 h 的 $\mathbb C_{50}$ 分别为 1.43 1.12 $\mathbb P_{g}$ mL 对 $\mathbb C_{50}$ 加 \mathbb

关键词:细胞毒素;聚乳酸-羟基乙酸微球;缓释

中图分类号:R944.9 文献标识码:A 文章编号:1005-1678(2008)03-0161-04

Preparation and characterization of poly(lactide-co-glycolide acid) microspheres containing cytotoxin from Naja Naja Atra venom

CHEN Zhi-kui 1 , LIN Li-wu 1 , LIN Qi 2 , ZHUANG Quan-quan 3 , HE Yi-mi 1 , XUE En-sheng 1

(1. Department of Ultrasound, Union Hospital of Fujian Medical University, 2. Biomedical Engineering Center, 3. Venom Research Institue, Fujian Medical University, Fuzhou 350004, China)

Abstract :Purpose To explore the method of preparation of CTX-PLGA microspheres and to investigate their general properties , *in vitro* drug release characteristics. Methods CTX was purified by chromatography technique and cytotoxicity in Hep G2 and L02 cells was analyzed by MTT. CTX-PLGA microspheres were prepared using double emulsion technique and the particle size , morphology , drug loading , encapsulation efficiency and *in vitro* drug release were investigated by means of scanning electron microscopy , laser light scattering particle size detector , and so on. Results Purified CTX showed excellent cytotoxicity effect on Hep G2 and L02 cells. CTX-PLGA microspheres were spherical and they exhibited a smooth surface morphology with median size 4.2 µm in diameter. The drug loading and encapsulation efficiency reached 0.72 %and 74.10 % , respectively , and cumulative release of CTX in 30days was 84.3 % *in vitro*. Conclusion The desirable microparticles containing relatively high concentration of CTX show sustained release effect *in vitro*.

Key words: cytotoxin; PLGA microspheres; sustained release

眼镜蛇毒细胞毒素(Cytotoxin,CTX)具有明显的抗肿瘤作用[1],但同大多数生物毒素一样,眼镜蛇CTX抗肿瘤作用缺乏特异性,全身用药常导致严重的毒副作用。本文采用复乳-溶剂挥发法制备肿瘤内注射用眼镜蛇毒CTX-聚乳酸/羟基乙酸(PLGA)

收稿日期: 2007-10-24

作者简介: 陈志奎(1975-),男,福建惠安人,在读医学博士,主要从事缓释药物超声介入治疗肝癌研究,Tel:13489024830;林礼务,通信作者,教授,博士生导师,Email:Jimchen2003@163.com。

微球,并考察载药微球的形态、粒径、包封率、载药率、体外释放行为及生物学活性。

1 材料

1.1 试剂与仪器

PLGA (LA/ GA = 50 50, M_r 10 000, 20 000, 40 000)、聚乙烯醇 (PVA) 1788 (中国科学院成都有机化学有限公司)。

AKTA explorer 蛋白纯化系统(瑞典 Pharmacia Biotech 公司);冷冻真空浓缩系统(丹麦 Heto-Holten

公司);600E-2487 高效液相色谱系统(美国 Waters 公司); MICCRA D-1 分散机 (德国 Art 公司); XL30ESEM 环境扫描电子显微镜(荷兰 Philips 公司);LS 230 激光粒度分析仪(美国贝克曼库尔特公司)。

1.2 细胞系

人肝癌 Hep C2 细胞(中国科学院上海细胞库); 人肝细胞 L02(福建省肝胆外科研究所惠赠)。

2 方 法

2.1 眼镜蛇 CTX 分离纯化、Mr 及细胞毒性测定

参考许云禄^[2]方法并进行改良。广东产眼镜蛇毒经 Sephadex G 100 和 CM-Sepharose FF (16/20) 纯化后,大鼠离体心脏毒性试验,收集眼镜蛇 CTX 上 Sephasil Peptide C_{18} 柱精细纯化,由 100 %A (0.12 %三氟乙酸水溶液) 到 100 %B (0.10 %三氟乙酸乙腈溶液) 直线梯度洗脱,收集主峰蛋白,SDS-PAGE (Tris-Tricine 系统)测定 M_r ,MTT 法测定眼镜蛇 CTX 对体外培养 Hep G_2 、L02 细胞生长抑制率。

2.2 复乳法制备 CTX-PLGA 缓释微球

采用复乳-溶剂挥发法制备微球 $^{[3-4]}$, 5 mg/ mL 眼镜蛇 CTX 0.2 mL 加入 M_r 10 000 的 PL GA (100 mg/ mL 二氯甲烷)溶液 1 mL,冰浴下 10 000 r/ min 匀浆 1 min;将乳化液迅速注入 3 % PVA 溶液 10 mL 中,5 000 r/ min匀浆 2 min;加入去离子水 30 mL,400 r/ min 磁力搅拌 4 h,使二氯甲烷完全挥发;去离子水洗涤 3 次,冷冻干燥后 4 保存。

2.3 微球表面形态与粒径测定

取适量 CTX-PLGA 微球冻干粉,置双面胶带上, 均匀涂布,离子镀膜仪溅金后,扫描电子显微镜观察 微球表面形态。取适量微球粉末分散于去离子水 中,激光粒度分析仪测定微球粒径及分布。

2.4 微球包封率和载药率测定

称取微球 10 mg ,加入装有 5% SDS 含(0.1 mol/L NaOH) 溶液 1 mL 的瓶中 ,37 ,220 r/min 振荡 30 h ,10 000 r/min 离心 3 min ,取上清液 0.5 mL 加 0.1 mol/L HCI 溶液 0.5 mL 中和后 ,BCA 法测蛋白浓度,计算微球载药率和包封率 ,载药率 = $(\text{CTX} 含量/微球质量) \times 100\%$;包封率 = $(\text{实际载药率/理论载药率}) \times 100\%$ 。

2.5 载药微球的体外释放

采用 M_r 10 000,20 000 与 40 000 的 PLGA 制备 微球,观察不同 M_r PLGA 制备微球的体外释放行为的差异。分别称取各种 M_r PLGA 制备的微球 100 mg 于 5 mL 离心管中,加入磷酸盐缓冲液 (PBS) (pH 7.4,含 0.02 % NaN₃)2 mL,于 37 摇床 100 r/min 振荡,定时离心,取上清液 0.5 mL,BCA 法测蛋白浓度,同时补加 PBS 0.5 mL 继续振荡。

2.6 载药微球体外释放眼镜蛇 CTX 细胞毒性

称取载药微球 $50 \text{ mg} \pm 100 \text{ mL}$ 锥形瓶中,加入 $PBS(pH7.4, 20.02\% NaN_3)25 \text{ mL}$,于 37 摇床 100 r/min 振荡,第 1,15,30 天分别离心收集上清液,对 水透析 24 h 除去 NaN_3 ,浓缩过滤除菌后,MTT 法测定眼镜蛇 CTX 对体外培养的 Hep C2 细胞的毒性作用。

3 结果

3.1 眼镜蛇 CTX 分离纯化、Mr 及细胞毒性测定

眼镜蛇毒经分子筛、阳离子交换、反相疏水 3 步分离纯化,SDS-聚丙烯酰胺凝胶电泳证实为均一蛋白区带, M_r 为 7 325。眼镜蛇 CTX 具有明显的溶细胞作用,对 Hep C2 细胞的 IC_{50} 分别为 1.43 ,1.12 μ g/ mL ,对 L02 细胞 12 ,24 h 的 IC_{50} 分别为 1.37 ,1.01 μ g/ mL ,结果见表 1。

表 1 不同浓度眼镜蛇毒细胞毒素对 $Hep \times 2$ 和 L02 细胞生长的抑制率 $(n=3, x \pm s)$

Tab 1 Cytotoxicity effect of CTX from Naja naja atra venom on Hep \mathbb{C}^2 and L02 cells ($n = 3, \overline{x} \pm s$)

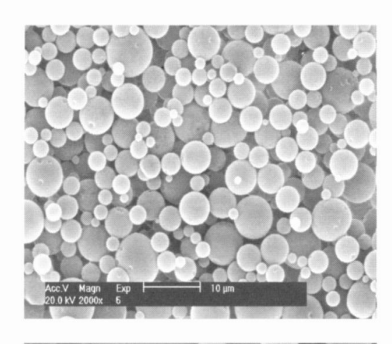
组 别	抑制率/ %				
	0.5 µg/ mL	1.0 µg/ mL	2.0 µg/ mL	3.0 µg/ mL	4.0 µg/ mL
12h Hep G2	16.7 ±2.8	39.3 ±5.1	68.5 ±10.9	76.4 ±13.1	89.7 ±12.5
L02	19.3 ±3.4	36.9 ± 4.9	64.2 ± 9.8	79.7 ±11.9	83.2 ±13.1
24h Hep G2	28.5 ± 2.6	45.2 ±8.3	70.9 ±11.3	81.2 ±17.3	91.4 ±15.3
L02	25.5 ±3.9	49.8 ±9.8	66.1 ±11.4	89.7 ±16.1	90.8 ±14.8

3.2 CTX-PLGA 微球形态与粒径测定

CTX-PL GA 微球冻干后呈疏松白色粉末,扫描电镜下观察呈圆球形,表面光滑,分散良好,无粘连,见图 1。激光粒度分析仪测得微球粒径为 $2.1\sim7.8$ μ m,平均 $4.2~\mu$ m,见图 2。

3.3 CTX-PLGA 微球的包封率、载药量、体外释放及细胞毒性测定

缓释微球的包封率和载药率分别为 (74.10 ± 9.92) %和 (0.72 ± 0.09) %。各种 M_r 的 PLGA 制备的微球均存在一定的突释行为,随着 PLGA M_r 增加,



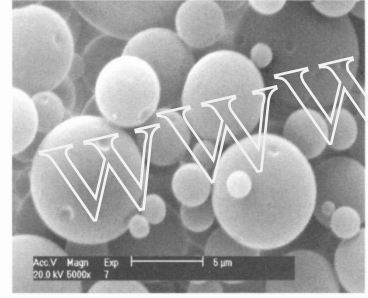


图 1 CTX-PLGA 微球的扫描电镜图片

Fig 1 The scanning electron microscopy image of CTX-PLGA microspheres

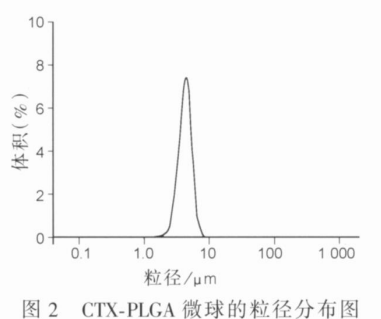
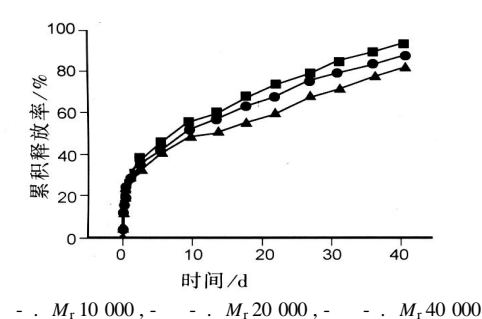


Fig 2 Particle size distribution of CTX-PLGA microspheres

药物体外释放周期逐渐延长,见图 3。微球体外释放 1,15,30 d 的眼镜蛇 CTX 生物学活性无明显改变,对 Hep C2 细胞作用 12 h 的 IC_{50} 分别为 1.49,1.51和 1.45 μ g/ mL。



-1.10000, -1.10000, -1.10000

图 3 CTX-PLGA 微球的体外释放曲线

Fig 3 In vitro release profile of CTX-PLGA microspheres 4 讨论

眼镜蛇 CTX 为小分子多肽 M_r 约 7 000 ,等电点 $11 \sim 12$,理化性质稳定 ,耐强酸强碱 ,在 100 加热

15 min 仍不会失活。根据眼镜蛇 CTX Mr 较小、等电点较高的特点,通过凝胶过滤、阳离子交换可将大部分杂蛋白去除。最后根据疏水性差异,利用高效液相色谱反相疏水方法精细纯化,可得到高纯度眼镜蛇 CTX。体外细胞毒实验显示,眼镜蛇 CTX 具有显著的抗肿瘤活性,但对肝癌 Hep C2 细胞和肝细胞 L02 的 IC50大致相同,证明眼镜蛇 CTX 细胞毒作用的非选择性。体内实验表明^[5],眼镜蛇 CTX 全身给药抗肿瘤,抑瘤率随着药物剂量增加而增加,但毒副作用也明显增强,严重者可导致动物死亡。因此,寻找合适的药物剂型和给药途径是解决眼镜蛇 CTX 应用于临床抗肿瘤的重要突破口。

直接在肿瘤局部给予负载抗肿瘤药物的缓释剂,不仅可以解决全身给药靶向性差问题,而且能在局部持续长时间释放高浓度药物,达到提高抗肿瘤疗效,降低全身毒副作用的目的。近年来,微球、脂质体及在体凝胶系统等已经成为药物缓释载体研究的热点。其中,PLGA微球具有较长的释药周期,易于储存等优点,已经成为多肽类药物的常用缓释载体,如曲普瑞林、亮丙瑞林 PLGA微球等已经上市。

复乳-溶剂挥发法是制备注射微球的最常用方法之一,通过调整内水相体积,药物浓度,PLGA Mr,PVA 浓度,复乳搅拌速度等各项参数,优化制备工艺可以有效控制微球质量。本实验制备的微球是用于肿瘤内直接注射,如果微球粒径太小则容易通过毛细血管进入血液循环,而微球太大容易堵塞针管,匀浆法制备的 CTX-PLGA 微球平均粒径 4.2 µm,符合瘤内注射的要求。

包封率是考察载药微球质量的重要指标。制备工艺的许多参数,如内水相体积,药物浓度,PLCA浓度等都会影响微球的包封率。当增加内水相体积和药物浓度时,微球的包封率降低,其原因可能为:在微球的形成过程中,药物由于内水相和外水相的浓度差而不断向外扩散,由菲克定律 $J = -D \cdot C/L$ (J 为扩散量,D 为扩散系数,C 为不同介质间的浓度差,L 为扩散方向上的距离)可知扩散速度与浓度差成正比。当内水相药物浓度较高时,眼镜蛇CTX 在两相间较大的浓度差导致扩散速度加快,内水相中眼镜蛇CTX 浓度的增加可能无法补偿因高速药物扩散带来的损失,便造成了包封率的降低。

一般认为微球中的药物释放有两种机制:一为扩散机制,溶液经微球的孔隙进入微球内部,溶解药物后扩散到释放介质中,微球表面附着的药物溶解及扩散是造成突释效应的主要因素;第二为降解机

制,随着聚合物的降解,微球的骨架逐渐溶蚀,使药物释放出来,此过程仍需要药物的溶解及扩散。聚合物 M_r 与组成是影响聚合物降解速度的主要因素,聚合物 M_r 越低,其玻璃化相变温度也降低,释药速度加快,而在丙交酯和乙交酯等摩尔配比时,聚合物的降解速度最快[6]。

眼镜蛇 CTX-PLGA 微球具有较好的缓释效果, 并保持了完整的生物学活性,通过超声引导肿瘤组 织内注射,可望提高肿瘤局部的药物浓度,减少全身 毒副作用,具有一定的应用前景。

参考文献:

[1] Feofanov A V ,Sharorov G V ,Dubinnyi M A ,et al. Comparative study of structure and activity of cytotoxins from venom of the cobras *Naja* oxiana, *Naja kaouthia*, and *Naja haje* [J]. Biochemistry , 2004 , 69

- (10):1148-1157.
- [2] 许云禄,杨丽娟,刘广芬.舟山眼镜蛇毒细胞毒素的分离纯化及 其体外抗肿瘤活性[J].中国生化药物杂志,2003,24(3):127-
- [3] Yang Yiyan ,Chung Taishung ,Ngee P N. Morphology ,drug distribution , and in vitro release profiles of biodegradable polymeric microspheres containing protein fabricated by double-emulsion solvent extraction/ evaporation method[J]. Biomaterials ,2001 ,22:231-241.
- [4] Alicia J D, Constance R C, Nicholas I, et al. Controlled release of bioactive TGF-b1 from microspheres embedded within biodegradable hydrogels[J]. Biomaterials ,2006 ,27:1579-1585.
- [5] 许云禄,吴国土,林建忠. 舟山眼镜蛇毒细胞毒素 F的体内抗肿瘤作用[J]. 福建医科大学学报,2003,37(3):298-230.
- [6] Homayoun P, Mandal T, Landry D. Controlled release of anti-cocaine catalytic antibody from biodegradable polymer microspheres [J]. Pharm Pharmacol, 2003, 55 (7):933-938.

一株产纤溶酶菌株 BS-26 的分离和鉴定

牛术敏^{1,2}, 李术娜¹, 郭晓军¹, 袁洪水¹, 王世英¹, 朱宝成¹

(1. 河北农业大学 生命科学学院, 河北 保定 071001; 2. 河北省保定第一中学, 河北 保定 071000)

摘 要:目的 对纤溶酶产生菌株进行筛选和鉴定。方法 采用 LB-纤维蛋白平板初筛和摇瓶发酵复筛的方法 进行筛选;通过对菌株形态和生理生化特征以及 16S rDNA 进行鉴定。结果 从土壤中分离得到 5 株纤溶酶高产菌株 ,其中菌株 BS-26 活性最高。其形态和生理生化特征与枯草芽孢杆菌 (Bacillus Subtilis) 很相近。将所测得的 16S rDNA 序列用 BLAST 软件与 GenBank 数据库进行相似性分析 ,并用 Neighbor-Joining 法构建系统发育树。BS-26 菌株与 Bacillus Subtilis 的相似性达到 99.63%。结论 BS-26 菌株鉴定为枯草芽孢杆菌 Bacillus Subtilis 。

关键词: 枯草芽孢杆菌; 纤溶酶; 生理生化特征; 16S rDNA; 鉴定

中图分类号:Q93-331 文献标识码:A 文章编号:1005-1678(2008)03-0164-04

Isolation and identification of the fibrinolytic enzyme producing strain BS-26

NIU Shu-min^{1,2}, LI Shu-na¹, GUO Xiao-jun¹, YUAN Hong-shui¹, WANG Shi-ying¹, ZHU Bao-cheng¹ (1. School of Life Science, Agriculture University of Hebei, Baoding 071001, China; 2. No. 1 Middle School of Baoding Heibei Province, Baoding 071000, China)

Abstract: Purpose To isolate and to identify strains producing fibrinolytic enzyme. **Methods** Strains producing fibrinolytic enzyme were isolated by LB-fibrin plate at first and secondly by shaking flask fermentation. Morphological, physiological and biochemical characteristics and 16S rDNA were used to identify strain.

收稿日期: 2007-09-19

作者简介: 牛术敏(1979-),女,河北保定人,在读硕士生,主要从事微生物与生化药学研究; 朱宝成(1962-),通信作者,教授,博士生导师,Tel:0312-7528258,E-mail:zhu2222 @126.com。